

専門科目 (TG010001)

流体力学II

Fluid Mechanics II

劉 浩
太田匡則

レイノルズ数による相似性

(Reynolds Number-based Similarity)

- 粘性流体の特徴を表すレイノルズ数 :

$$\text{Re} = \frac{\text{慣性力}}{\text{粘性力}} = \frac{(\rho U^2 / L) L^3}{(\mu U / L^2) L^3} = \frac{\rho U L}{\mu} = \frac{U L}{\nu}, \nu = \frac{\mu}{\rho}$$

- レイノルズ数の相似性 :

同じReをもつ流体現象は似た性質を有する

- 無次元化された支配方程式 :

$$\frac{\partial u}{\partial x} + \frac{\partial v}{\partial y} = 0$$

$$\frac{\partial u}{\partial t} + \frac{\partial u}{\partial x} u + \frac{\partial u}{\partial y} v = -\frac{\partial p}{\partial x} + \frac{1}{\text{Re}} \left(\frac{\partial^2 u}{\partial x^2} + \frac{\partial^2 u}{\partial y^2} \right)$$

$$\frac{\partial v}{\partial t} + \frac{\partial v}{\partial x} u + \frac{\partial v}{\partial y} v = -\frac{\partial p}{\partial y} + \frac{1}{\text{Re}} \left(\frac{\partial^2 v}{\partial x^2} + \frac{\partial^2 v}{\partial y^2} \right)$$

相似性と無次元化

(Similarity and Nondimensionalization)

- 代表的物理量：

代表長さ=L 代表速度=U 代表時間=T=L/U

- 無次元化：

$$(\mathbf{u}, \mathbf{v}, \mathbf{w}) = U(\mathbf{u}^*, \mathbf{v}^*, \mathbf{w}^*), (\mathbf{x}, \mathbf{y}, \mathbf{z}) = L(\mathbf{x}^*, \mathbf{y}^*, \mathbf{z}^*), \mathbf{t} = \mathbf{t}^* L/U$$

$$\frac{\partial u}{\partial t} + \frac{\partial u}{\partial x} u + \frac{\partial u}{\partial y} v = -\frac{1}{\rho} \frac{\partial p}{\partial x} + \nu \left(\frac{\partial^2 u}{\partial x^2} + \frac{\partial^2 u}{\partial y^2} \right)$$

$$\frac{U}{L/U} \frac{\partial u^*}{\partial t^*} + \frac{U^2}{L} \left(\frac{\partial u^*}{\partial x^*} u^* + \frac{\partial u^*}{\partial y^*} v^* \right) = -\frac{1}{\rho L} \frac{\partial p}{\partial x^*} + \nu \frac{U}{L^2} \left(\frac{\partial^2 u^*}{\partial x^{*2}} + \frac{\partial^2 u^*}{\partial y^{*2}} \right)$$

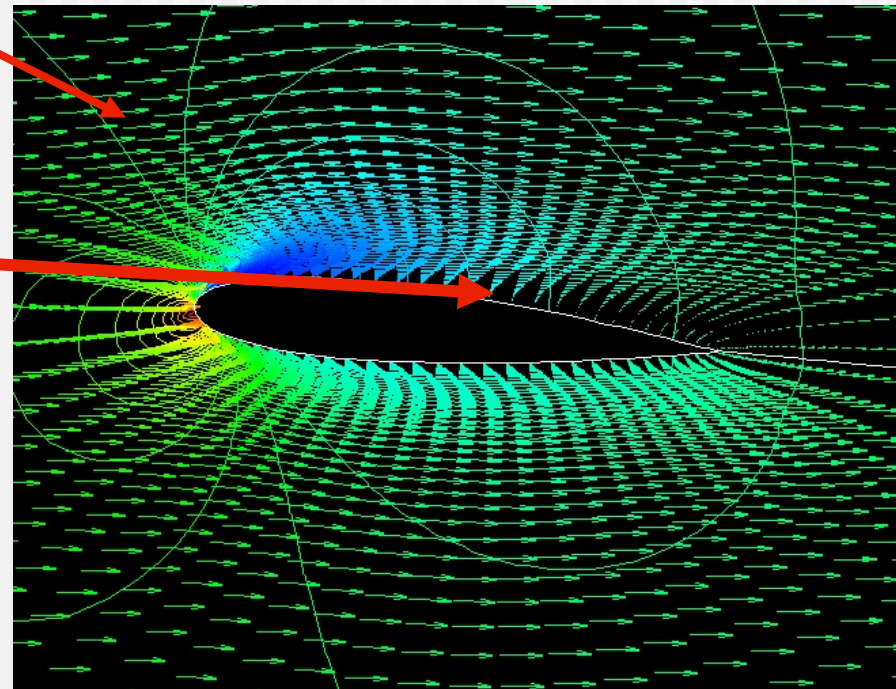
$$\frac{\partial u^*}{\partial t^*} + \frac{\partial u^*}{\partial x^*} u^* + \frac{\partial u^*}{\partial y^*} v^* = -\frac{\partial p^*}{\partial x^*} + \frac{1}{UL/\nu} \left(\frac{\partial^2 u^*}{\partial x^{*2}} + \frac{\partial^2 u^*}{\partial y^{*2}} \right) \Leftarrow p^* = \frac{p}{\rho U^2 L}$$

$$\text{Re} = \frac{UL}{\nu}$$

境界層方程式 (Boundary Layer Equation)

- 流体支配方程式：

- 境界層近似：
 - @物体から離れた所
 - @物体近傍



境界層近似

(Boundary layer Approximation)

- 境界層近似：

@境界層は薄い、 $\delta/L = \text{小さい}$

$$\delta/l \approx O(0) \rightarrow x \propto l, y \propto \delta$$

@境界層を横切る方向の速度成分 $v \sim \delta$

$$v/U \approx O(0) \rightarrow v \propto \delta \Rightarrow u \propto l, v \propto \delta$$

@圧力は境界層内(y方向)で一定

$$\frac{\partial p}{\partial y} \approx O(0)$$

@粘性項のうち、x方向の2回微分は省略できる

$$\frac{\partial u}{\partial x} / \frac{\partial u}{\partial y} \approx O(0) \rightarrow \frac{\partial^2 u}{\partial x^2} \approx O(0)$$

境界層方程式の導出

(Formation of Boundary Layer Equation)

- 境界層方程式とその特徴： 有次元化

$$(\mathbf{u}, \mathbf{v}, \mathbf{w}) = U(\mathbf{u}^*, \mathbf{v}^*, \mathbf{w}^*), (\mathbf{x}, \mathbf{y}, \mathbf{z}) = L(\mathbf{x}^*, \mathbf{y}^*, \mathbf{z}^*), t = t^* L/U \quad \text{Re} = \frac{UL}{\nu}$$

$$\frac{\partial u^*}{\partial x^*} u^* + \frac{\partial u^*}{\partial y^*} v^* = -\frac{\partial p^*}{\partial x^*} + \frac{1}{\text{Re}} \left(\frac{\partial^2 u^*}{\partial y^{*2}} \right) \rightarrow \frac{\partial u}{\partial x} u + \frac{\partial u}{\partial y} v = -\frac{1}{\rho} \frac{\partial p}{\partial x} + \nu \frac{\partial^2 u}{\partial y^2}$$

$$p + \rho \frac{U^2}{2} = \text{Const} \Rightarrow \frac{dp}{dx} + \rho U \frac{dU}{dx} = 0$$

$$\frac{\partial u}{\partial x} u + \frac{\partial u}{\partial y} v = U \frac{dU}{dx} + \nu \frac{\partial^2 u}{\partial y^2} \quad x, u = O(l), y, v = O(\delta), \frac{1}{\text{Re}} = O(\delta^2)$$

$$\frac{\partial p}{\partial y} = 0$$

境界層の解析例 1

Boundary layer problems

■ 平板に沿う境界層 1 :

@境界層内部速度分布の相似

$$\frac{u}{U} \propto f\left(\frac{y}{\delta}\right)$$

$$\delta(x) \propto x / \sqrt{\text{Re}_x}, \text{Re}_x = Ux / \nu$$

@座標変換 (写像) :

$$x' = x, \eta = y \sqrt{\text{Re}_x} / x$$

$$f(\eta) = \Psi \sqrt{\text{Re}_x} / Ux \rightarrow \Psi : \text{StreamFunction}$$

@ブラジウスの微分方程式 :

$$u = \frac{\partial \Psi}{\partial y} = \frac{Udf}{d\eta}, v = -\frac{\partial \Psi}{\partial x} = -\frac{\partial \Psi}{\partial x'} - \frac{\partial \eta}{\partial x} \frac{df}{d\eta} = \frac{1}{2} \frac{U}{\sqrt{\text{Re}_x}} \left(\eta \frac{df}{d\eta} - f \right)$$

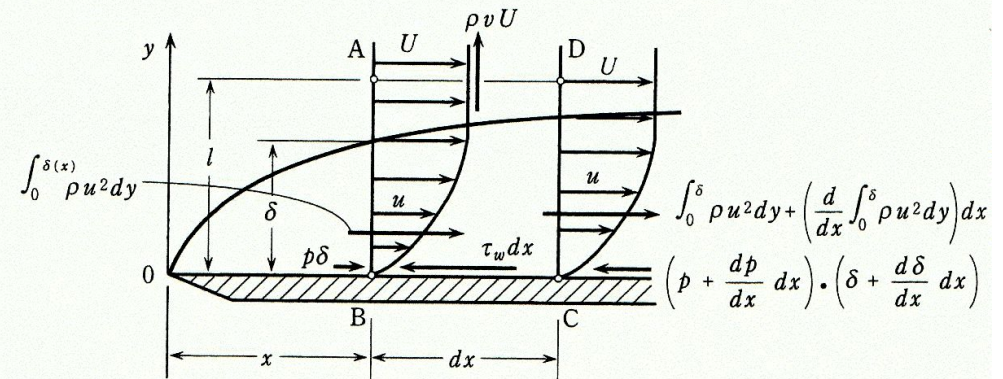
$$\frac{\partial u}{\partial x} + \frac{\partial u}{\partial y} v = U \frac{dU}{dx} + \nu \frac{\partial^2 u}{\partial y^2} \Rightarrow \frac{d^3 f}{d\eta^3} + \frac{f}{2} \frac{d^2 f}{d\eta^2} = 0$$

@境界条件 :

流力2

$$\text{Non-slip} : \eta = 0 \rightarrow f = 0, f_\eta = 0$$

$$\text{Outside} : \eta \gg 1 \rightarrow f_\eta = 1$$



境界層の解析例 1

Boundary layer problems

- 平板に沿う境界層 2 :

@ブラジウスの微分方程式の解

数値積分解は実験値とよく合致

展開近似 :

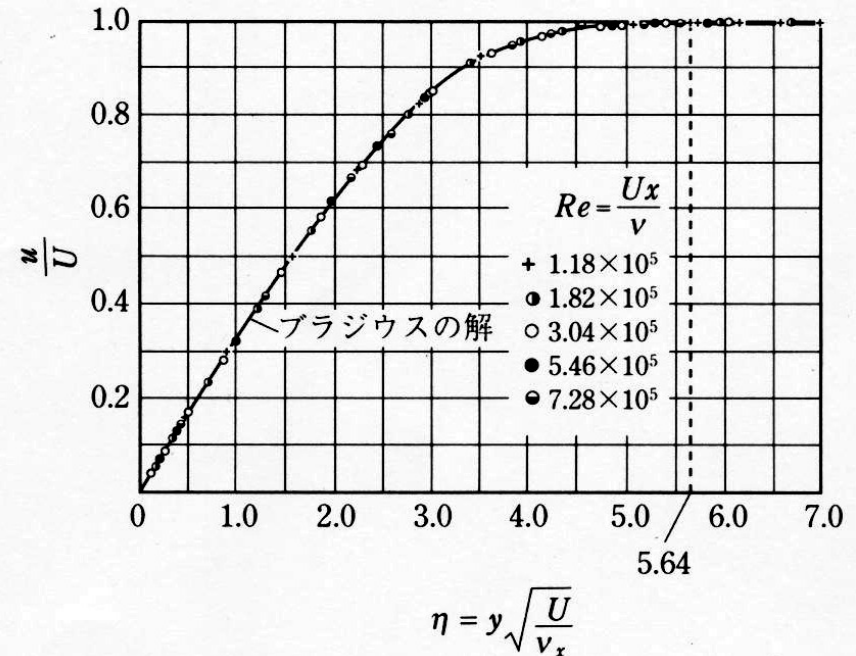
$$u/U = C_0 + C_1\eta + C_2\eta^2 \Rightarrow \delta = 5.48x / \sqrt{Re_x}$$

壁面摩擦抵抗係数 :

$$f_{\eta} = 0.332 \rightarrow \tau_w = \mu \partial u / \partial y$$

$$\tau_w = \mu \sqrt{Re_x} U f_{\eta} / x = 0.332 \rho U^2 / \sqrt{Re_x}$$

$$C_f = \tau_w / (0.5 \rho U^2) = 0.664 / \sqrt{Re_x}$$



@例題6.3: $U=20\text{m/s}$, $x=30\text{cm}$ のとき、境界層と壁面せん断応力を求めなさい。 $Re_x = Ux/\nu = 3.9 \times 10^5$

$$\delta = 5.48x / \sqrt{Re_x} = 2.63\text{mm}, \tau_w = 0.332 \rho U^2 / \sqrt{Re_x} = 248\text{g} / \text{ms}^2$$

境界層の解析例 2

Boundary layer problems

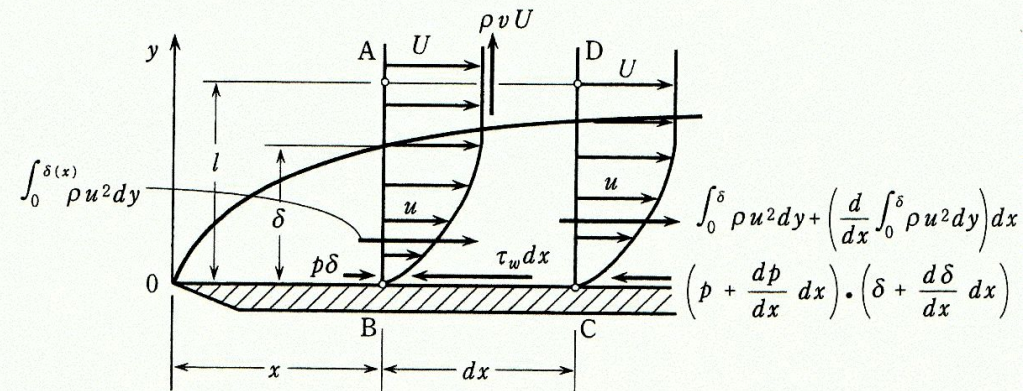
■ 円柱と球のまわりの境界層 1 :

@円柱まわりの境界層 :

平板境界層近似を適用

$$\Delta p / \Delta y = \rho U^2 / a$$

$$\Rightarrow \Delta p = \rho U^2 \delta / a \rightarrow 0, \text{When } \delta \ll 1$$



@円柱まわりの境界層の微分方程式：曲線座標系
一般座標系における境界層方程式と同型

$$\frac{\partial u}{\partial x} u + \frac{\partial u}{\partial y} v = U \frac{dU}{dx} + \nu \frac{\partial^2 u}{\partial y^2}$$

$$\frac{\partial p}{\partial y} = 0$$

境界層の解析例 2

Boundary layer problems

- 円柱と球のまわりの境界層 2 :

@ 円柱まわりの境界層方程式の解 :

外縁でポテンシャル流れ

$$U(x) = U \sin\left(\frac{x}{a}\right) = 2U_0 \left(\frac{x}{a}\right) - 2U_0 \frac{1}{3!} \left(\frac{x}{a}\right)^3 + \dots$$

円柱表面で境界層方程式

$$f(\eta, \frac{x}{a}) = f_1(\eta, \frac{x}{a}) + f_3(\eta, \frac{x}{a})^3 + \dots \Rightarrow f_i (i = 1, 3, 5 \dots)$$

$$\frac{u}{U(x)} \Leftrightarrow \frac{y}{a} \sqrt{\frac{Ua}{\nu}}, \phi(0 \rightarrow \pi)$$

@ 流れの剥離 :

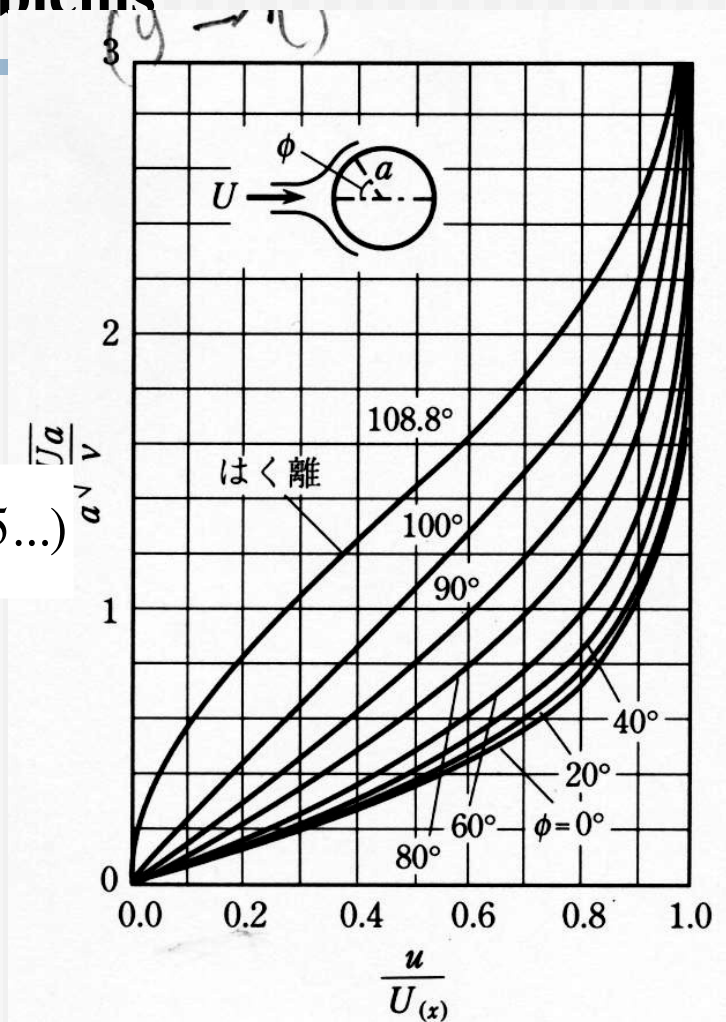
境界層は上流側で薄く、下流側で厚く

角度 = 108.8 (実験では80) になると、

剥離が発生

$$u = 0, \frac{\partial u}{\partial y} < 0$$

流力2



境界層の解析例 3

Boundary layer problems

- 円柱と球のまわりの境界層：
@球まわりの境界層方程式の解：

外縁でポテンシャル流れ

$$U(\phi) = 3U \sin\left(\frac{\phi}{2}\right) = 6U_0 \left(\frac{\phi}{2}\right) - 6U_0 \frac{1}{3!} \left(\frac{\phi}{2}\right)^3 + \dots$$

円柱表面で境界層方程式

$$f(\eta, \frac{\phi}{2}) = f_1(\eta, \frac{\phi}{2}) + f_3(\eta, \frac{\phi}{2})^3 + \dots \Rightarrow f_i (i = 1, 3, 5, \dots)$$

$$\frac{u}{U(x)} \Leftrightarrow \frac{y}{a} \sqrt{\frac{Ua}{\nu}}, \phi(0 \rightarrow \pi)$$

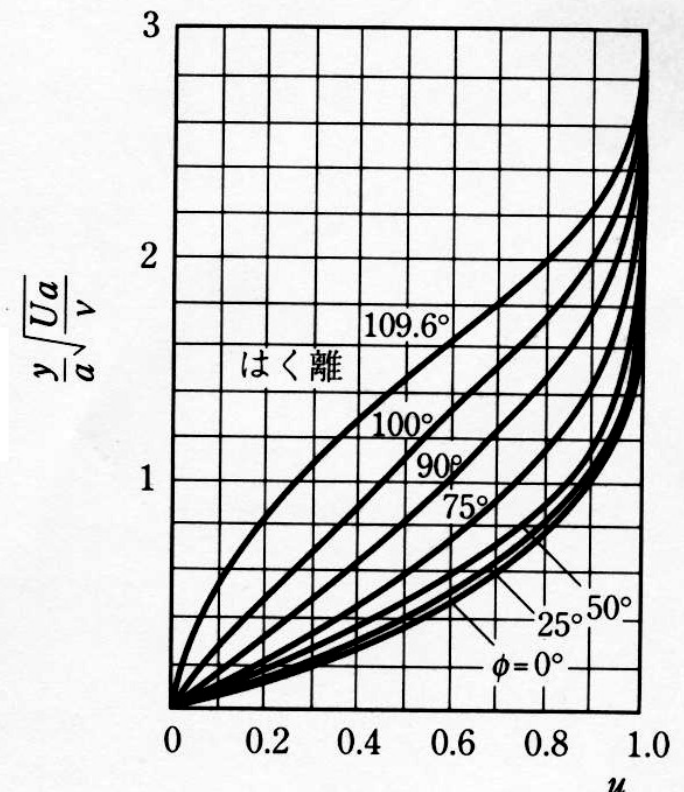
- @流れの剥離と伴流：

境界層は上流側で薄く、下流側で厚く

角度 = 109.6 (実験では84) になると、
剥離が発生

流力2

$$u = 0, \frac{\partial u}{\partial y} < 0$$

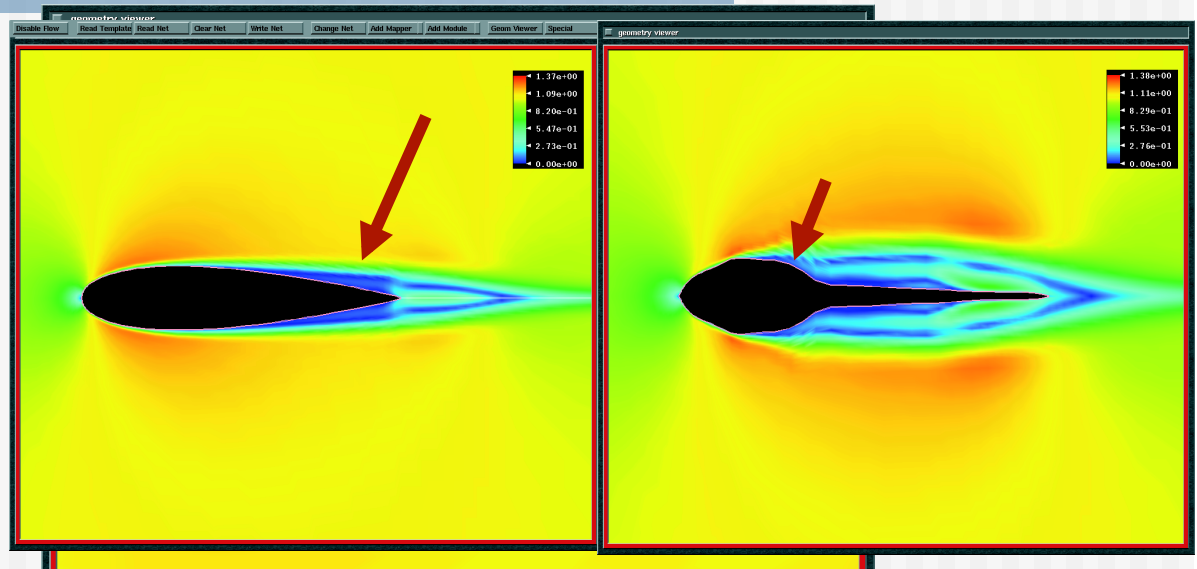


境界層に伴う剥離

Boundary layer problems

- 境界層、剥離、後流：
@ポテンシャル流れでは
エネルギー保存により
前後縁では圧力対称、
剥離無し

@粘性があると、摩擦による
エネルギー損失が生じ
後縁付近では逆流が発生

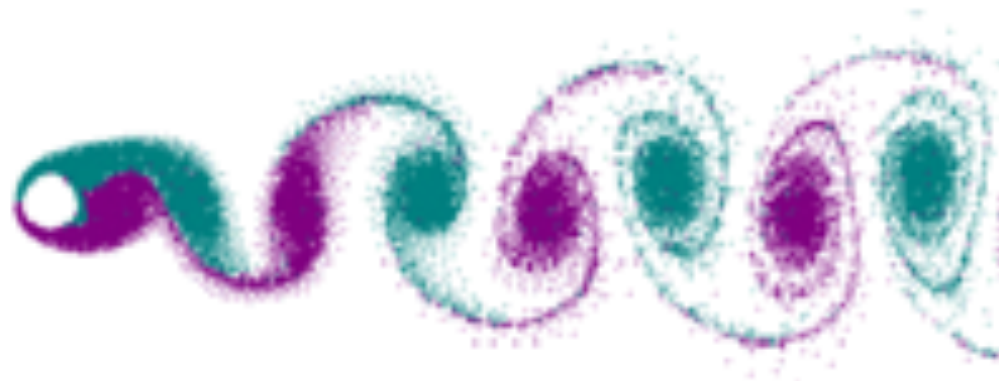


$$p + \frac{\rho}{2} U^2 = C \rightarrow \mu \frac{d^2 u}{dy^2} = \frac{dp}{dx}$$

@剥離点：

$$u = 0, \frac{\partial u}{\partial y} < 0$$

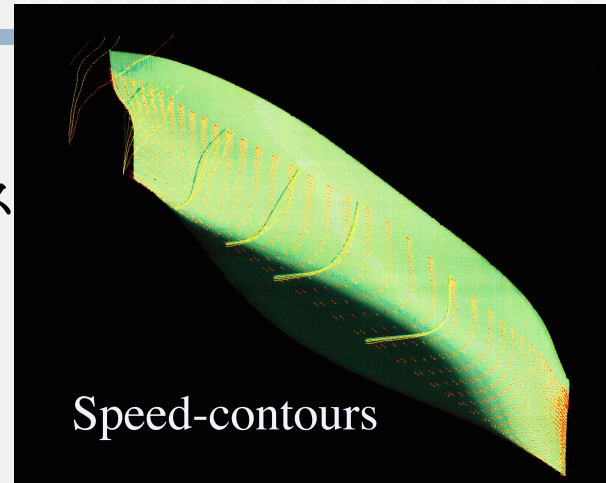
流力2



境界層に伴う剥離

Boundary layer problems

- 境界層、剥離、後流：
@理想流体では抗力はゼロ：
ダランベールのパラドックス



- @解決方法：粘性を考慮する
 - 1) 境界層近似解
 - 2) ナビエーストークス方程式の数値解